

В.И. Букатый, А.А. Исаков, Н.В. Кисляк, И.А. Суторихин, Р.П. Черненко

ДИНАМИКА МИКРОФИЗИЧЕСКИХ ХАРАКТЕРИСТИК ПРИЗЕМНОГО АЭРОЗОЛЯ г. БАРНАУЛА

Приведены результаты экспериментов по изучению суточной, недельной и месячной динамики микрофизических характеристик приземного аэрозоля г. Барнаула. Обсуждаются закономерности их поведения в зависимости от метеорологических условий.

Проблема загрязнения воздуха становится все более актуальной в связи с усиливающимся влиянием деятельности человека на окружающую среду. Основными источниками загрязнения являются бытовые, производственные и природные процессы, поставляющие в атмосферу вредные вещества как в виде газовых смесей, так и в виде аэрозолей.

Наряду с изучением химического состава вещества аэрозолей важнейшей задачей является определение микрофизических параметров аэрозольных частиц. От дисперсности аэрозоля зависят многие его свойства, например эффективность распространения оптического излучения в атмосфере, ослабление процессов фотосинтеза в листьях растений и т.п. Анализу атмосферных загрязнений в городских условиях посвящен ряд работ, например [1–4], однако результаты исследований аэрозольной компоненты в них представлены недостаточно и имеют разрозненный характер.

Данная работа посвящена задаче осуществления комплексного подхода к изучению аэрозольной компоненты приземного слоя атмосферы в условиях города с развитыми промышленностью и транспортной сетью на примере краевого центра г. Барнаула.

В плане решения этой задачи представляют интерес такие характеристики аэрозоля, как динамика счетной и массовой концентраций в зависимости от метеорологических условий, характер распределения частиц по размерам, их форма и фазовый состав.

Для определения этих параметров использовался комплекс аппаратуры, включающий в себя: 1) серийный прибор ПКЗВ-906, 2) импакторную установку, 3) аспирационную установку, 4) комплекс автоматизации обработки измерений. Отбор проб и определение счетной концентрации среднедисперсного аэрозоля производились при помощи прибора ПКЗВ-906. Данные регистрировались по семи каналам с граничными размерами 0,3–0,4; 0,4–0,5; 0,5–1; 1–2; 2–5; 5–10; 10–100 мкм. Усреднение проводилось по измерениям, полученным в течение 15–20 мин. В связи с тем что, начиная с размера частиц 1 мкм, прибор имеет довольно грубую разбивку, крупнодисперсный аэрозоль изучался с использованием импакторной и аспирационной установок в зависимости от определяемого аэрозольного параметра. Данные счетной концентрации могут быть получены путем микрофотографирования стеклянных подложек импактора либо предварительно зажжено-воздушных и освещенных парами ацетона фильтров типа АФА ВП-20. Усреднение результатов измерений происходило по нескольким фотографиям полученного препарата аэрозольных частиц в различных областях подложки или фильтра.

Изображения частиц с микрофотографий заносились в компьютер с помощью сканера и с использованием специального пакета программ подвергались обработке на комплексе «Robotron» с получением протокола о параметрах частиц. Далее полученный файл обрабатывался с помощью «Windows» – приложения электронных таблиц Excel на компьютере IBM PC/AT-386.

Применение автоматизации обработки данных, помимо большой экономии времени, позволяет избежать субъективности при оценке данных счетной концентрации, а также расширяет возможности повышения информативности обработки измерений в плане оценки таких микрофизических параметров, как площади изображений частиц, отклонение их формы от сферической и т.д. Обе эти методики забора проб привели к взаимоподтверждающим результатам. Однако следует иметь в виду, что аспирационная установка дает погрешность в случае

наличия жидкой оболочки вокруг частицы (на фильтре она не может быть зафиксирована), в свою очередь, импакторная установка несколько искажает результат за счет уноса части мелких частиц с потоком воздуха.

Такие характеристики, как форма и фазовый состав аэрозолей, изучались с использованием микроизображений частиц, осажденных на импакторные подложки, хотя если речь идет о форме ядер конденсации, то могут быть использованы фотографии осветленных фильтров. Массовая концентрация определялась путем взвешивания фильтров до и после экспонирования.

С целью исследования динамики некоторых свойств аэрозоля были проведены экспериментальные заборы проб одновременно средне- и крупнодисперсных аэрозольных фракций в опорном пункте, расположенном с наветренной стороны от крупных источников антропогенного загрязнения (здание физкорпуса Алтайского госуниверситета), в различные периоды времени.

На рис. 1 представлены данные о суточной динамике счетной N_c и массовой N_m концентраций частиц аэрозоля, а также величин δ_{50} и σ , являющихся параметрами нормального логарифмического распределения, характеризующими медианный диаметр и степень полидисперсности материала [5].

Данное распределение выбрано для аппроксимации экспериментальных значений линейных размеров частиц в результате анализа многочисленных эмпирических кривых и некоторых аналитических функций с использованием различных вероятностных сеток. Измерения производились с 14⁰⁰ ч 19.04.95 до 14⁰⁰ ч 20.04.95. Изменение температуры в данный период составило +1...+9°C. Величины массовой и счетной концентраций в течение суток варьировали в интервалах 0,37–1,76 мг/м³ и 3,37·10³ – 8,21·10³ дм⁻³ соответственно. Медианный диаметр изменялся от 0,49 до 0,66 мкм.

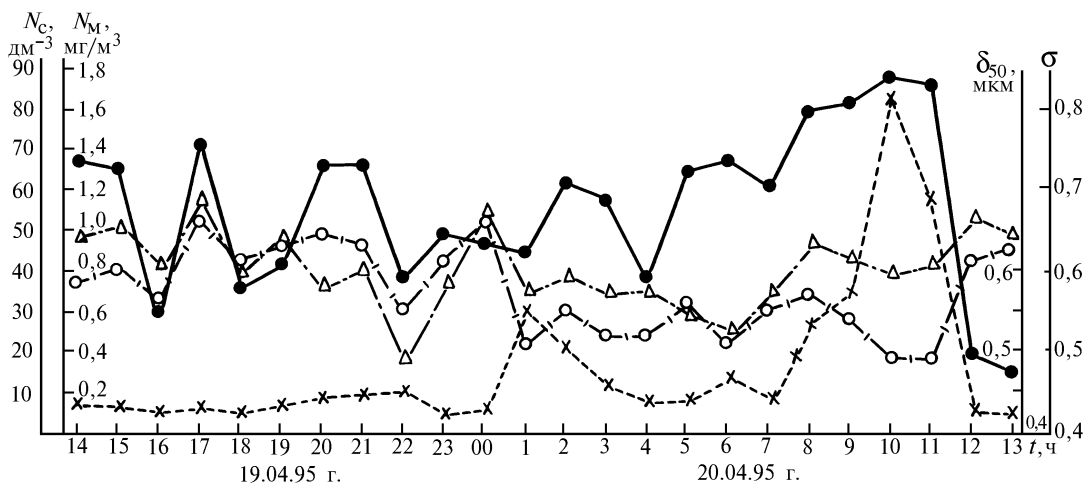


Рис. 1. Суточная динамика микрофизических характеристик городского аэрозоля: \times – $N_c(t)$ счетная концентрация; ● – $N_m(t)$ массовая концентрация; Δ – $\sigma(t)$ степень полидисперсности; ○ – медианный диаметр

Из рис. 1 видно, что в первой части эксперимента (с 14⁰⁰ до 24⁰⁰ ч 19.04.95) значение N_c оставалось практически стабильным [$(4-11)\cdot10^3$ дм⁻³], в небольших пределах колебались значения $N_m = 0,7 \div 1,4$ мг/м³ и $\delta_{50} \approx 0,3 \div 0,5$ мкм. С 0⁰⁰ до 3⁰⁰ ч 20.04.95 отмечено наличие пика счетной концентрации $N_c \approx 3,44 \cdot 10^4$ дм⁻³ при $\delta_{50} \approx 0,5 \div 0,55$ мкм, причем степень полидисперсности аэрозоля также снизилась относительно усредненного значения за период с 14⁰⁰ по 24⁰⁰ ч 19.04.95. Такое повышение содержания мелких частиц было вызвано ночным выбросом загрязнителей городской ТЭЦ-3. В период с 7⁰⁰ до 11⁰⁰ ч прослеживался стабильный рост $N_c(t)$ и $N_m(t)$ в связи с возрастанием интенсивности движения транспорта, функционированием отопительных печей в частном секторе. Максимальные значения эти величины приняли в 10⁰⁰ ч, и δ_{50} снизилось до $\approx 0,49$ мкм. С 12⁰⁰ до 13⁰⁰ ч метеоусловия изменились, пошел дождь, и кривые $N_c(t)$ и $N_m(t)$ достигли своих минимальных значений при $\delta_{50} \approx 0,61 \div 0,62$ мкм. Резкое уменьшение счетной концентрации частиц во время выпадения осадков было обнаружено нами ранее в экспериментах от 15.05.94 г. Результаты показали, что при продолжительности дождя порядка 50 мин с интенсивностью 10–14 мм объ-

емная концентрация частиц приземного аэрозоля в диапазоне 0,3–10 мкм изменилась с 36200 до 15100 частиц в 1 дм³ за счет процессов вымывания (рис. 2).

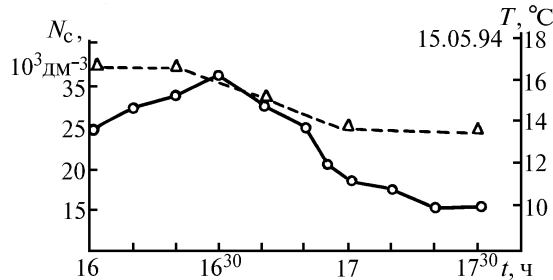


Рис. 2. Динамика счетной концентрации и температуры в период выпадения дождя: \circ – $N_c(t)$; Δ – $T(t)$

Отбор аэрозоля осуществлялся в опорном пункте с борта передвижной лаборатории на высоте 2,1 м от поверхности земли. Канал пробоотборника был защищен от попадания капель. Интенсивность дождя определялась по юстированной методике с использованием водомерного ведра и мензурки. Интерес представляет тот факт, что в начальный период выпадения осадков в приземном слое происходят повышение концентрации и увеличение δ_{50} аэрозоля. Такое изменение может быть объяснено появлением наряду с твердыми частицами жидким в условиях повышенной влажности.

В то же время при изучении формы частиц было замечено, что они при влажности $\approx 100\%$ обводняются, обретая сферическую форму и укрупняясь в размерах. Далее с понижением температуры в результате развития процессов конденсации и коагуляции происходит дальнейшее увеличение размеров частиц и выпадение их под действием гравитационного осаждения и вымывания дождевыми каплями. При анализе недельной динамики основных характеристик аэрозольной компоненты воздуха также наблюдалась подобная зависимость N_c и δ_{50} от наличия осадков. Минимальные значения величин N_c , N_m приходятся на 18.04 и 20.04.95 г., когда наблюдалась повышенная влажность (19.04 замер проведен спустя 2–3 часа после дождя, 20.04 – во время дождя).

При анализе суточных данных о грубодисперсной фракции не удалось выявить универсальную аналитическую функцию распределения по размерам для всех заборов проб. Однако наблюдается согласованное поведение кривых $\delta_{50}(t)$ средней и крупной фракций (т.е. при увеличении δ_{50} среднедисперсной фракции отмечается увеличение δ_{50} грубодисперсного аэрозоля). В то же время ход общей массовой концентрации мало зависит от счетной концентрации крупных частиц. Этот факт свидетельствует о том, что основной вклад по массе вносит именно среднедисперсный аэрозоль, изменение параметров которого в основном определяет динамику массовой концентрации. Так, например, при неизменной счетной концентрации наблюдалось увеличение N_m с ростом медианного диаметра δ_{50} . С другой стороны, резкое увеличение счетной концентрации при небольшом уменьшении δ_{50} слабо отражалось на значении массовой концентрации. Такой характер взаимосвязи величин N_m , N_c , δ_{50} обусловлен тем, что $N_m \sim N_c(\delta_{50})^3$ [5]. При этом рост значения N_c наблюдался с уменьшением медианного диаметра и степени полидисперсности аэрозоля. Однако данные закономерности видны в случае отсутствия особых метеорологических условий (сильный ветер, осадки).

На рис. 3 представлен фрагмент месячной динамики некоторых параметров городского аэрозоля. Время проведения экспериментальных исследований (с 21.10 до 5.11.95 г.) было выбрано с целью оценки изменения состояния приземного слоя атмосферы в связи с началом отопительного сезона. В данный период наблюдалось достаточно резкое понижение среднесуточной температуры и городские отопительные системы были выведены на полную мощность. Изменение величины счетной концентрации зарегистрировано в пределах от $6,51 \cdot 10^3$ до $9,85 \cdot 10^4 \text{ дм}^{-3}$. Таким образом, значение N_c повысилось в среднем на порядок относительно подобных измерений, произведенных ранней осенью. Следует отметить, что свои минимальные значения ($N_c(26.10) \approx 1,59 \cdot 10^4$, $N_c(28.10) \approx 6,67 \cdot 10^3$, $N_c(2.11) \approx 6,51 \cdot 10^3 \text{ дм}^{-3}$) кривая $N_c(t)$ принимала в точках, соответствующих проведению экспериментальных замеров во время выпадения осадков в виде снега. Массовая концентрация N_m достигала значения $\sim 3 \text{ мг}/\text{м}^3$.

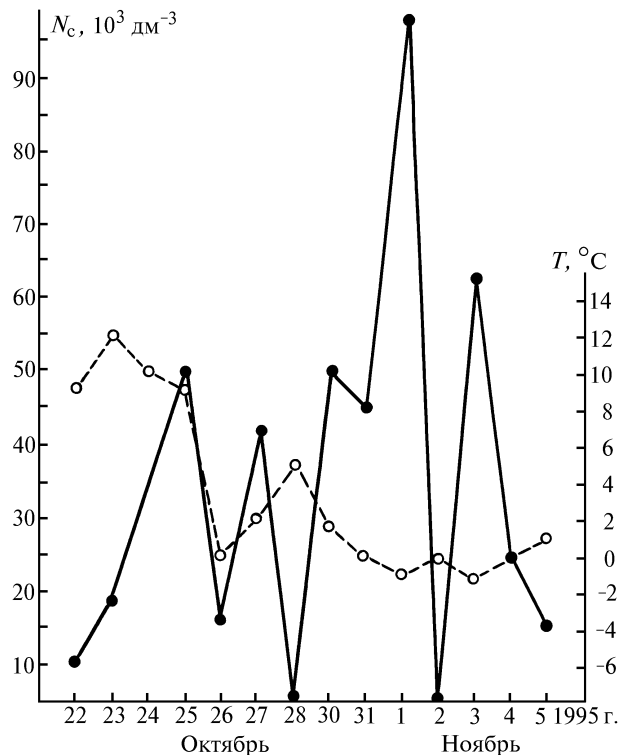


Рис. 3. Динамика счетной концентрации и температуры в период от 21.10 до 5.11.95 г. ● – $N_c(t)$; ○ – $T(t)$

1. Безуглая Э.Ю., Расторгуева Г.П., Смирнова И.В. Чем дышит промышленный город. Л.: Гидрометеоиздат, 1991. 252 с.
2. Исследование загрязнения атмосферы Алма-Аты / Под ред. У.М. Султангазина. 1, 2-й вып. Алма-Ата: Гылым, 1990. 316 с.
3. Безуглая Э.Ю. Мониторинг состояния загрязнения атмосферы в городах. Л.: Гидрометеоиздат, 1986. 198 с.
4. Зуев В.Е., Креков Г.М. Оптические модели атмосферы. Л.: Гидрометеоиздат, 1986. 256 с.
5. Коузов П.А. // Основы анализа дисперсного состава промышленных пылей и измельченных материалов. Л.: Химия, 1987. 264 с.

Алтайский государственный университет
Институт водных и экологических проблем СО РАН, г. Барнаул

Поступила в редакцию
26 января 1996 г.

V.I. Bukatyi, A.A. Isakov, N.V. Kislyak, I.A. Sutorikhin, R.P. Chernenko.
Dynamics of Microphysical Characteristics of Nearground Aerosol in Barnaul.

The experimental results on diurnal, weekly, and monthly dynamics of microphysical characteristics of the nearground aerosol in Barnaul are presented. The influence of meteorological conditions on their behaviour is discussed.